



Kontinuumsphysikalische Simulationen

Simulation einer Fußbodenheizung

Enrico Stauss, Peter Constien, Christoph Scherer

TU Berlin

11. Juli 2022

Inhalt

- ① Einleitung: Fußbodenheizung
- ② Case Study
 - Geometrien
 - Physikalisches Modell
 - Schwache Formulierung
 - Meshing
 - Lösung
 - Einschätzung der Lösung
- ③ Fazit

Aufbau einer Fußbodenheizung

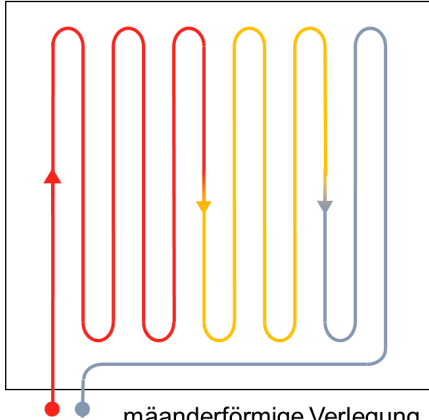


Abbildung: Noppenplatten

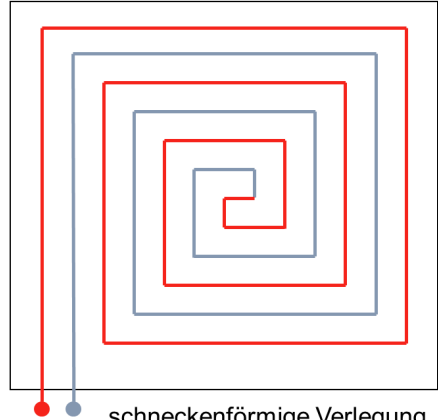


Abbildung: Nasssystem

Verlegungsgeometrien



mäanderförmige Verlegung



schneckenförmige Verlegung

Case Study

- Ziel: Untersuchen von Temperaturverteilung und Thermospannungen in Fußbodenheizungen.
- Vergleich der beiden dominanten Systeme: Nass-/Trockensystem
- Nutzen von FEM-Simulationen mit FEniCS

Querschnitt für ein Nasssystem

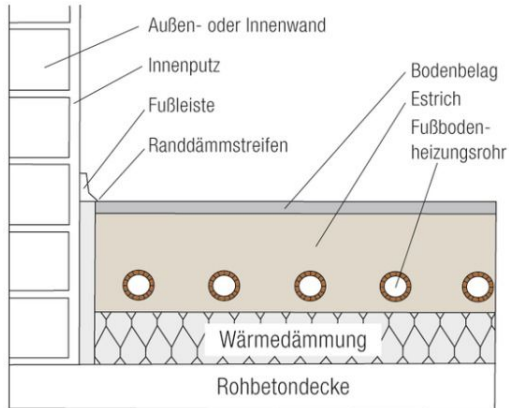


Abbildung: Schnitt durch ein Nasssystem

Bemaßung des Nasssystems

- Rohraußendurchmesser = 12 mm
- Rohrstärke = 1,5 mm
- Rohrabstand = 150 mm
- Estrichstärke = 30 mm
- Isolations-Schichtdicke = 30 mm
- Trittschalldämmungs-Schichtdicke = 2 mm
- Bodenbelagstärke = 25 mm
- Segmentbreite = 300 mm

Querschnitt für ein Trockensystem

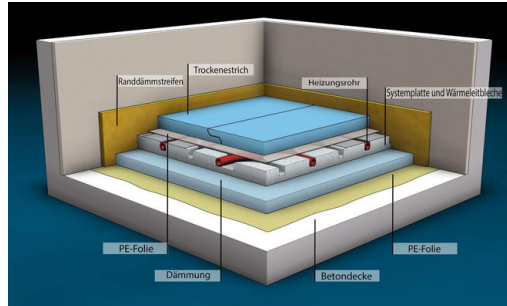


Abbildung: Schnitt durch ein Trockensystem

Bemaßung des Nasssystems

- Rohraußendurchmesser = 12 mm
- Rohrstärke = 1,5 mm
- Rohrabstand = 150 mm
- Estrichstärke = 30 mm
- Isolations-Schichtdicke = 30 mm
- Trittschalldämmungs-Schichtdicke = 2 mm
- Bodenbelagstärke = 25 mm
- Segmentbreite = 300 mm
- Wärmeleitungsplattenstärke = 2 mm
- Wärmeleitungsplattenbreite = 100 mm

Physikalisches Modell - Gleichungen

$$\left\{ \begin{array}{lll} -\nabla \cdot \mathbf{q}(\mathbb{X}) = & 0 & \text{auf } \Omega \\ \mathbf{n} \cdot \mathbf{q}(\mathbb{X}) = & \alpha_1(\mathbb{T} - T_{\text{ext},1}) & \text{auf } \Gamma_1 \\ \mathbf{n} \cdot \mathbf{q}(\mathbb{X}) = & \alpha_2(\mathbb{T} - T_{\text{ext},2}) & \text{auf } \Gamma_2 \\ \mathbf{n} \cdot \mathbf{q}(\mathbb{X}) = & \alpha_3(\mathbb{T} - T_{\text{ext},3}) & \text{auf } \Gamma_3 \\ \mathbf{n} \cdot \mathbf{q}(\mathbb{X}) = & 0 & \text{auf } \Gamma_4 \end{array} \right.$$

Physikalisches Modell - Randbedingungen

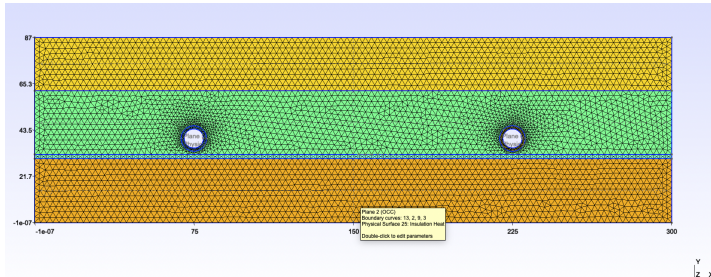
- Γ_1 : Zulauf: Newton-Cooling-Condition
- Γ_2 : Ablauf: Newton-Cooling-Condition
- Γ_3 : Fußbodenbelag: Newton-Cooling-Condition
- Γ_4 : Decke ins untere Geschoss: Neumann-Rand, perfekte Isolation

Schwache Form - Temperatur

$$\begin{aligned} F(\mathbb{X}, T) &= \int_{\Omega} \nabla \cdot \mathfrak{q}(\mathbb{X}) \delta v \, dV = \int_{\Omega} \{ \nabla \cdot (\mathfrak{q}(\mathbb{X}) \delta v) - \mathfrak{q}(\mathbb{X}) \cdot \nabla \delta v \} \, dV \\ &= \int_{\Omega} \nabla \cdot (\mathfrak{q}(\mathbb{X}) \delta v) \, dV - \int_{\Omega} \mathfrak{q}(\mathbb{X}) \cdot \nabla \delta v \, dV \\ &= \oint_{\partial\Omega} \mathfrak{n} \cdot \mathfrak{q}(\mathbb{X}) \delta v \, dA - \int_{\Omega} \mathfrak{q}(\mathbb{X}) \cdot \nabla \delta v \, dV \\ &= \oint_{\partial\Omega} \mathfrak{n} \cdot \mathfrak{q}(\mathbb{X}) \delta v \, dA - \int_{\Omega} \kappa(\mathbb{X}) \nabla T(\mathbb{X}) \cdot \nabla \delta v \, dV = 0 \end{aligned}$$

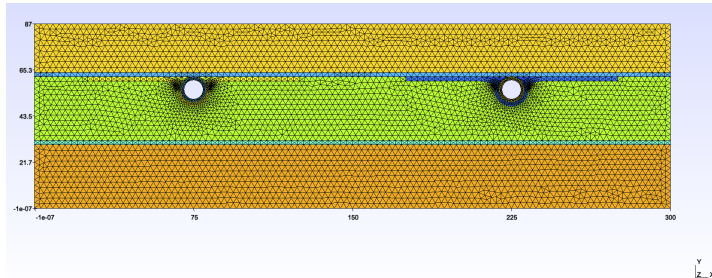
Mesh des Nasssystems

Hier zeigen wir kurz die Meshes der beiden Geomtrien (Symbolbild grob und tabellarisch die charakteristischen Parameter: MeshSizeFactor in .geo.opt; Compute element sizes from curvature = 5 und hmax()).



Mesh des Trockensystems

Hier zeigen wir kurz die Meshes der beiden Geomtrien (Symbolbild grob und tabellarisch die charakteristischen Parameter: MeshSizeFactor in .geo.opt; Compute element sizes from curvature = 5 und hmax()).



Lösung - Temperaturfeld: Nasssystem

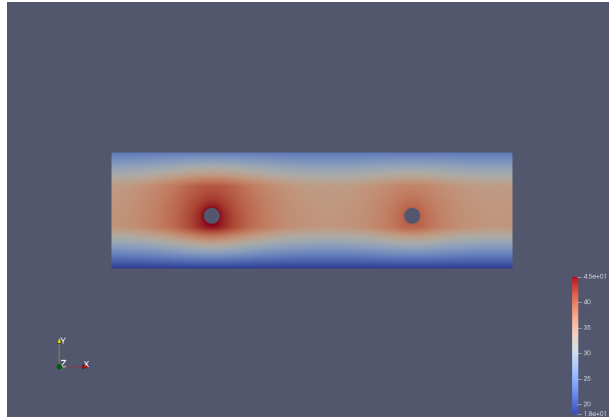


Abbildung: Temperaturverteilung in °C

Lösung - Temperaturfeld: Nasssystem

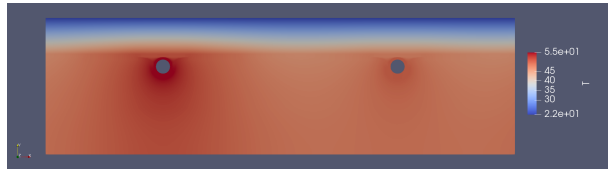


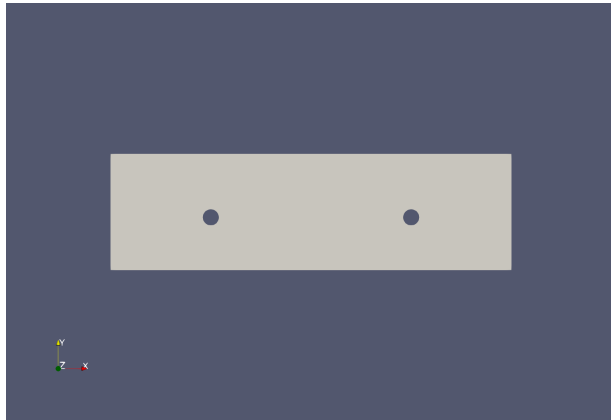
Abbildung: Temperaturverteilung in °C



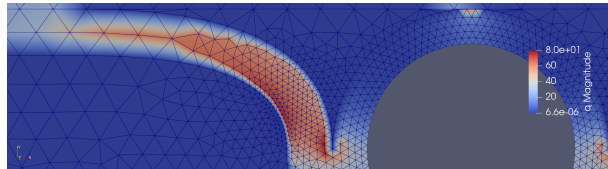
Lösung - Spannungsfeld

Hier zeigen wir die Lösung des Spannungsfelds.

Einschätzung der Lösung - Wärmeflussvektor: Nasssystem



Einschätzung der Lösung - Wärmeflussvektor: Trockensystem



Konvergenz des Nasssystems

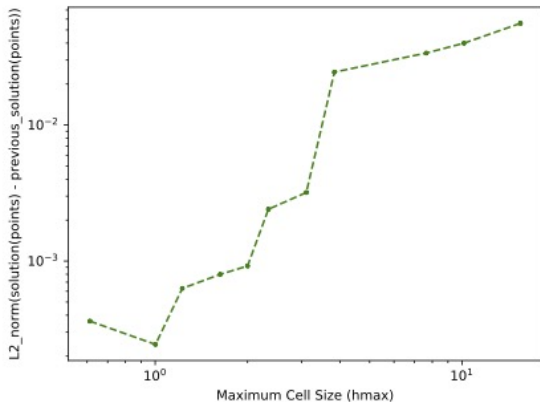


Abbildung: Lokale Abweichungen im Nasssystem

Konvergenz des Trockensystems

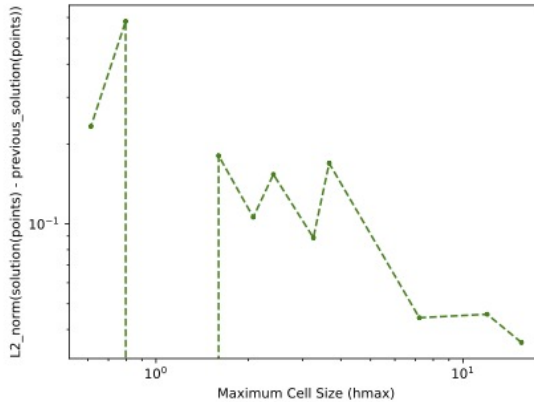


Abbildung: Lokale Abweichungen im Trockensystem

Einschätzung der Lösung - Manufactured Solution

- Klassische Lösung:
 - ① Aufstellen des ARWP
 - ② Numerische Integration
 - ③ Vergleich mit analytischer Lösung
- Manufactured solution:
 - ① Wahl einer Lösung
 - ② Erzeugen des zugehörigen ARWP durch Einsetzen der Lösung in DGL und Auswertung der Lösung am Rand
 - ③ Klassisches Lösen des ARWP und Vergleich mit gewählter Lösung

Fazit / Ausblick

- Implementierung der manufactured solution
- Spannungsfeld berechnen
- Entdimensionalisierung